

## بررسی خصوصیات خشک شدن توت سفید با استفاده از خشک کن مادون قرمز- جابجایی

محمد کاوه<sup>۱\*</sup>، رضا امیری چایجان<sup>۲</sup>، ساسان خیاطی<sup>۱</sup>

۱- دانشجوی کارشناسی ارشد مکانیک ماشین‌های کشاورزی، دانشگاه بوعالی سینا، همدان (skaweh@yahoo.com)

۲- دانشیار گروه مهندسی بیوپسیستم، دانشگاه بوعالی سینا، همدان

### چکیده

در این پژوهش، خشک شدن لایه نازک توت سفید در یک خشک کن مادون قرمز آزمایشگاهی مورد تحقیق قرار گرفت. خشک- کردن محصول در سه دمای ۴۰، ۵۵ و ۷۰ درجه سلسیوس و در یک سرعت جریان هوای ۰/۴ متر بر ثانیه و دو توان تابش مادون قرمز ۵۰۰ و ۱۰۰۰ وات انجام شد. برای انتخاب یک منحنی خشک کردن مناسب، چهار مدل لایه نازک خشک شدن به دادهای آزمایشگاهی برآشش شد. در میان مدل‌های ریاضی مورد تحقیق مدل Midilli *et al.* بهترین مدل برای شرح دادن رفتار خشک- شدن لایه نازک توت با بیشترین مقدار ضریب همبستگی ( $R^2$ ) و کمترین مربعات کاهش یافته ( $\chi^2$ ) و خطای ریشه میانگین مربعات (RSME) انتخاب شد. نتایج بررسی‌های مقدار ضریب پخش رطوبت موثر برای خشک شدن لایه نازک توت نیز نشان داد که دمای  $70^{\circ}\text{C}$  و توان تابش  $W = 1000$  دارای بیشترین ضریب پخش رطوبت موثر است.

**واژه‌های کلیدی:** توت، خشک کردن، خشک کن مادون قرمز، مدل لایه نازک، ضریب پخش رطوبت موثر

### مقدمه

میوه توت از درخت توت (Morus sp.), از خانواده Moraceae و در منطقه با آب و هوای معتدل در نیم کره شمالی و مناطق استوایی رشد می‌کند. توت می‌تواند در مناطق وسیعی از شرایط آب و هوایی، خاک و توبوگرافی رشد کند (Ercisli and Orhan, 2007). میوه توت در اندازه‌های ۳–۲ سانتی‌متر متنوع است و در ظاهر شبیه شاه توت می‌باشد. میوه توت حالت کال به صورت سفید، سبز و زرد رنگ می‌باشد. و در هنگام رسیدن، قرمز سپس بنفش و در نهایت سیاه می‌شود. میوه رسیده با طعم شیرین آن، به طور گسترده در ساخت مرiba و کیک استفاده می‌شود (Huang *et al.*, 2011).

در گذشته، از انرژی خورشید برای خشک کردن انواع محصولات کشاورزی و مواد غذایی استفاده می‌شد اما مشکلات زیادی در استفاده از این روش وجود دارد که عبارتند از: تغییرات نامناسب در کیفیت غذا، عدم کنترل کافی در فرآیند خشک کردن، طولانی بودن زمان خشک شدن و غیر بهداشتی بودن محصول. مشکلاتی از این قبیل استفاده از تکنولوژی جدید در فرآیند خشک کردن را ضروری می‌سازد. خشک کن‌های صنعتی مزایایی نسبت به روش‌های سنتی دارند که عبارتند از: برداشت به موقع

محصول، کاهش تلفات در مزرعه، برنامه ریزی برای برداشت در شرایط نامطلوب آب و هوایی، افزایش مدت انبارداری مواد غذایی و محصولات کشاورزی (Cakmak and Yıldız, 2011).

خشک کردن به صورت تابش مادون قرمز، به عنوان یک روش بالقوه برای به دست آوردن مواد غذایی از جمله حبوبات، سبزیجات، توت و سایر میوه‌ها با کیفیت بالا می‌باشد. انرژی تابش مادون قرمز بدون گرم کردن هوای اطراف به سطح محصول منتقل می‌شود. با برخورد تابش به محصول به داخل آن نفوذ کرده و حرارت آن را منتقل می‌کند (Khir *et al.*, 2011).

مدل‌سازی ریاضی انتقال جرم و تغییرات کیفیت یک ابزار بسیار مهم و مفید برای کنترل فرآیند در طی خشکشدن است. مدل‌های تجربی یا نیمه تجربی، نسبت رطوبت و تغییرات کیفیت به طور گسترده برای محصولات کشاورزی استفاده می‌شود. پژوهشگران بسیاری برای پیش‌بینی نسبت رطوبت و تغییرات کیفی در محصولات دیگر استفاده کرده‌اند مانند: (Shi *et al.*, 2008; Artnaseaw *et al.*, 2010; Ponkham *et al.*, 2012; Amiri Chayjan and Kaveh, 2013)

هدف از این پژوهش بررسی خشک کردن لایه نازک توت با استفاده از تابش مادون قرمز در درجه حرارت‌های ۴۰ و ۵۵ در سرعت هوای ۰/۴ متر بر ثانیه و توان‌های تابش ۵۰۰، ۱۰۰۰ وات می‌باشد. همچنین مدل‌سازی ریاضی منحنی‌های خشک کردن ارائه می‌شود و مقدار ضریب پخش رطوبت موثر و انرژی فعال‌سازی برای توت محاسبه می‌شود.

## مواد و روش‌ها

توت تازه از بازار خریداری شد و برای انجام آزمایش‌ها در یخچال با دمای  $1\pm3^{\circ}\text{C}$  نگهداری شد. اندازه‌ی نمونه‌ها یکسان و هماندازه انتخاب شدند. توت‌های نارس و خراب به صورت دستی جدا شدند. رطوبت اولیه توت با استفاده از آون به دست آمد. حدود ۴۰ گرم از نمونه را در آون در دمای  $1\pm0^{\circ}\text{C}$  به مدت ۲۴ ساعت قرار داده شد. رطوبت اولیه توت  $2/43$  بر پایه خشک به دست آمد.

در این پژوهش از یک خشک‌کن مادون قرمز- جایجاپی که در آن از یک سرعت هوای (۰/۴ متر بر ثانیه) دو توان تابش ۵۰۰ و ۱۰۰۰ وات) و سه سطح دمای (۴۰، ۵۵ و ۷۰ درجه سلسیوس) استفاده شد. خشک کن مادون قرمز جایجاپی از دو قسمت، یعنی یک محفظه خشک کردن شامل تابشگرهای مادون قرمز و یک واحد تامین هوای گرم تشکیل شده است. برای انجام آزمایش‌ها، دما و رطوبت نسبی محیط به ترتیب بین ۳۲-۳۷ درجه سلسیوس و ۲۴-۳۳ درصد اندازه‌گیری شد.

## مدل‌سازی ریاضی منحنی خشک کردن

نسبت رطوبت (MR) توت در طول فرایند خشک کردن با استفاده از معادله زیر محاسبه می‌شد:

$$MR = \frac{(W_t - W_e)}{(W_0 - W_e)} \quad (1)$$

$W_0, W_e, W_t$  به ترتیب رطوبت محصول در زمان  $t$ , محتویات رطوبتی تعادلی و رطوبت اولیه محصول می‌باشند.

برای مدل کردن ریاضی خشک شدن توت سفید از مدل‌های ریاضی لایه نازک استفاده شد (جدول ۱). برای انتخاب

بهترین مدل برای شرح دادن رفتار لایه نازک خشکشدن میوه توت از معیارهای ضریب همبستگی ( $R^2$ ), مربعات کاهش یافته

( $\chi^2$ ) و خطای ریشه میانگین مربعات (RMSE) استفاده شد.

$$R^2 = 1 - \frac{\sum_{i=1}^N [MR_{\text{exp},i} - MR_{\text{pre},i}]^2}{\sum_{k=1}^N \left[ \frac{\sum_{k=1}^n MR_{\text{pre},i}}{N} - MR_{\text{pre},i} \right]^2} \quad (2)$$

$$\chi^2 = \frac{\sum_{i=1}^N (MR_{\text{exp},i} - MR_{\text{pre},i})^2}{N - z} \quad (3)$$

$$RMSE = \left[ \frac{1}{N} \sum_{i=1}^N (MR_{\text{pre},i} - MR_{\text{exp},i})^2 \right]^{\frac{1}{2}} \quad (4)$$

$MR_{\text{pre},i}$  و  $MR_{\text{exp},i}$  به ترتیب نسبت رطوبت‌های آزمایشگاهی و نسبت رطوبت‌های پیش‌بینی شده می‌باشند.  $N$  تعداد

مشاهدات در آزمایشها و  $z$  تعداد ثابت‌ها در مدل‌های خشک کردن می‌باشد (Mota *et al.*, 2010).

جدول ۱- مدل‌های لایه نازک مورد استفاده برای خشک کردن میوه توت سفید

مدل	معادلات	مراجع
Demir <i>et al.</i>	$MR = a \exp(-kt)^n + b$	Demir <i>et al.</i> (2007)
Midilli <i>et al.</i>	$MR = 1 + at + bt^2$	Midilli <i>et al.</i> (2002)
logistic	$MR = a / (1 + b \exp(kt))$	Cihan <i>et al.</i> (2007)
Two-Term	$MR = a \exp(k_0 t) + b \exp(-k_1 t)$	Amiri Chayjan and kaveh (2013)

$a, b, c, k, k_0, k_1, n$ ,

قانون دوم فیک که توسط کرانک برای شرایط لایه نازک در محصولات کروی ارائه شد با نادیده گرفتن اثرات دما و مجموع گرادیان فشار می‌تواند انتقال رطوبت در مرحله نزولی فرآیند خشک کردن را توصیف می‌کند (Crank, 1975). با فرض اینکه در فرآیند خشک کردن، پخش رطوبتی موثر ثابت و شعاعی است می‌توان مقدار آن را از معادله زیر محاسبه نمود:

$$\frac{(W_t - W_e)}{(W_0 - W_e)} = \sum_{n=1}^{\infty} \frac{4}{b_n^2} \exp\left[-D_{eff} \frac{b_n^2 t}{r^2}\right] \quad (5)$$

که در آن  $n$  تعداد جملات معادله (۱، ۲، ۳...)،  $t$  زمان خشک شدن (s)،  $r$  شعاع هندسی بنه (m)  $D_{eff}$  ضریب پخش رطوبت موثر ( $m^2/s$ ). وقتی  $t$  افزایش می‌یابد، تمام جملات به غیر از جمله اول، صفر می‌شوند در نتیجه خواهیم داشت (Mota et al., 2010).

$$MR = \frac{4}{b_n^2} \exp\left[-D_{eff} t \frac{b_n^2}{r^2}\right] \quad (6)$$

بعد از ساده شدن، معادله بالا را می‌توان به صورت خطی نوشت. با اعمال لگاریتم از طرفین معادله می‌توان آن را به صورت خطی درآورد.

$$\ln(MR) = \ln\left(\frac{4}{b_n^2}\right) + \exp\left[-D_{eff} \frac{b_n^2}{r^2}\right] t \quad (7)$$

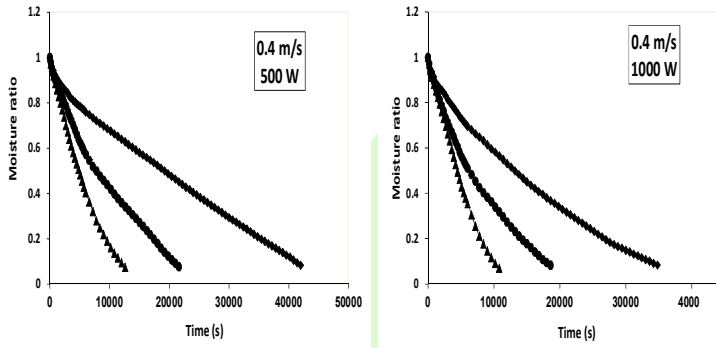
با رسم  $\ln(MR)$  نسبت به زمان، خطی با شیب  $K$  به دست می‌آید که از مساوی قرار دادن این شیب با ضریب  $t$ ، ضریب پخش رطوبت موثر را می‌توان از رابطه ۸ به دست آورد.

$$D_{eff} = D_0 \exp\left[-\frac{E_a}{R_g T}\right] \quad (8)$$

## نتایج و بحث

در شکل (۱) تاثیر افزایش دما بر زمان خشک کردن توت در روش تابش مادون قرمز نشان داده شده است. همان‌طور که مشخص است، در سرعت جریان هوای  $0.4 m/s$  و توان تابش  $W = 500$ ، با افزایش دمای هوا از  $40^\circ C$  به  $70^\circ C$ ، زمان خشک کردن محصول از حدود ۷۰۰ دقیقه به حدود ۲۱۰ دقیقه کاهش یافت. یعنی با افزایش دما، زمان خشک شدن (از ۵۸۰ دقیقه به ۱۸۰ دقیقه برای توان تابش  $W = 1000$ ) کاهش یافت. با افزایش دما، زمان خشک کردن به علت افزایش گرادیان حرارتی در داخل جسم و در نتیجه

افزایش سرعت تبخیر رطوبت محصول کاهش یافت. این امر به دلیل افزایش دمای محفظه خشک کن است که انتقال جرم را سریعتر انجام می‌دهد و باعث کاهش زمان خشک کردن می‌شود (Ponkham *et al.*, 2012).



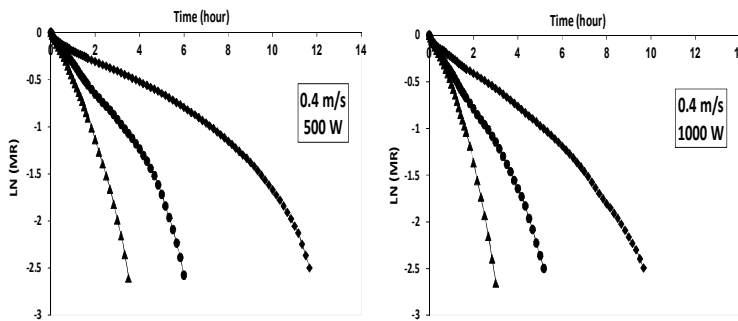
شکل ۱- نمودار نسبت رطوبت در مقابل زمان برای دما و توان های مختلف خشک کردن میوه توت سفید

رطوبت میوه توت برای خشک کن مادون قرمز در شروع خشک شدن (d.b.) ۰/۴۳ ۲ بود. پس از بدست آوردن مقادیر نسبت رطوبت در توان های تابش مادون قرمز، دمایها و سرعت های مختلف خشک کردن به روش خشک شدن مادون قرمز، چهار مدل (demir و همکاران ، Midilli و همکاران، وانگ و سینگ و لجستیک) موجود در جدول (۱) بر منحنی های خشک شدن حاصل از داده های آزمایشی برآش داده شدند. سپس مدل های خشک شدن لایه نازک مختلف با توجه به مقادیر  $R^2$ ، RMSE و  $\chi^2$  ارزیابی شدند و مدل بهتر بر اساس مقادیر بیشتر  $R^2$  و مقادیر کمتر  $\chi^2$  و RMSE انتخاب شد. نتایج حاصل از برآش داده های آزمایشگاهی با مدل های ارائه شده، نشان داد که تقریباً همه مدل ها مناسبند، اما در کل مدل Midilli *et al.* فرآیند خشک شدن لایه نازک توت را در روش مادون قرمز، با دقت بیشتری نسبت به سایر مدل ها، پیش بینی کرد. ضرایب و شاخص های آماری مربوط به مدل های موجود در جدول (۲) برای روش خشک شدن با خشک کن مادون قرمز به تفکیک آورده شده است.

## جدول ۲- نتایج آماری مدل‌های خشک کردن میوه بنه

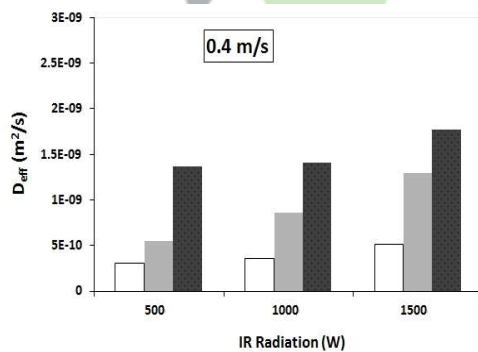
Model	Temperature (°C)- Microwave power (W)	$R^2$	$\chi^2$	RMSE
		0.4 m/s	0.4 m/s	0.4 m/s
Demir <i>et al.</i>	۴۰_۵۰۰	۰/۹۹۶۸	۰/۰۱۷	۰/۱۲
	۵۵_۵۰۰	۰/۹۹۷۰	۰/۰۱۰۲	۰/۰۹۶
	۷۰_۵۰۰	۰/۹۹۹۲	۰/۰۰۱	۰/۰۳۹۷
	۴۰_۱۰۰۰	۰/۹۹۸۳	۰/۰۰۸۵	۰/۰۸۹۵
	۵۵_۱۰۰۰	۰/۹۹۸۶	۰/۰۰۴۰	۰/۰۶۰
	۷۰_۱۰۰۰	۰/۹۹۷۸	۰/۰۰۵	۰/۰۶
Midili <i>et al.</i>	۴۰_۵۰۰	۰/۹۹۹۸	۰/۰۰	۰/۰۲۵۸
	۵۵_۵۰۰	۰/۹۹۸۷	۰/۰۰۴۴	۰/۰۶۳۵
	۷۰_۵۰۰	۰/۹۹۹۷	۰/۰۰۰۷	۰/۰۲۴۸
	۴۰_۱۰۰۰	۰/۹۹۹۶	۰/۰۰۱	۰/۰۳۶۳
	۵۵_۱۰۰۰	۰/۹۹۹۵	۰/۰۰۱۵	۰/۰۳۶۸
	۷۰_۱۰۰۰	۰/۹۹۹۲	۰/۰۰۱	۰/۰۳۹۴
Logistic	۴۰_۵۰۰	۰/۹۹۲۰	۰/۰۴۴۴	۰/۲۰
	۵۵_۵۰۰	۰/۹۹۵۲	۰/۰۱۶	۰/۱۲۴۳
	۷۰_۵۰۰	۰/۹۹۹۵	۰/۰۰۱۳	۰/۰۳
	۴۰_۱۰۰۰	۰/۹۹۶۰	۰/۰۲۰۱	۰/۱۳۸۷
	۵۵_۱۰۰۰	۰/۹۹۷۸	۰/۰۰۷۱	۰/۰۸۰۶
	۷۰_۱۰۰۰	۰/۹۹۹۳	۰/۰۰۱۴	۰/۰۳۵۴
Two-term	۴۰_۵۰۰	۰/۹۹۷۶	۰/۰۱۲۴	۰/۰۱۸۶
	۵۵_۵۰۰	۰/۹۹۴۰	۰/۰۲۰۷	۰/۱۳۷۷
	۷۰_۵۰۰	۰/۹۹۹۱	۰/۰۰۲۱	۰/۰۴۲
	۴۰_۱۰۰۰	۰/۹۹۸۷	۰/۰۰۶۶	۰/۰۷۸۸
	۵۵_۱۰۰۰	۰/۹۹۷۰	۰/۰۰۹۴	۰/۰۹۲۳
	۷۰_۱۰۰۰	۰/۹۹۷۶	۰/۰۰۵۱	۰/۰۶۶۴

شکل (۲) نمودار Ln(MR) را نسبت به زمان (ساعت) در شرایط مختلف دما و سرعت هوا و همچنین توان مادون قرمز نشان می-دهد. محاسبات نشان داد که رابطه مستقیمی بین ضریب پخش رطوبت موثر با دما و سرعت هوای عبوری از محفظه خشک کن وجود داشت. با توجه به شکل (۳)، در سرعت ثابت هوا در محفظه خشک کن، میزان ضریب پخش رطوبت موثر با افزایش دمای هوا و افزایش توان تابش، افزایش یافت. پایین ترین دما، سرعت هوا و توان مادون قرمز سبب کمترین ضریب پخش رطوبت موثر شده و بیشترین مقدار ضریب پخش رطوبت موثر در بالاترین دما و سرعت هوا و بیشترین توان مادون قرمز اتفاق افتاد.



شکل ۲- نمودار  $\ln(MR)$  در برابر زمان (ساعت)

همانگونه که از شکل (۳) ملاحظه می‌گردد، در روش مادون قرمز با افزایش دما، توان تابش و سرعت هوا در فرآیند خشکشدن توت، ضریب پخش رطوبت موثر یک روند افزایشی دارد که تاثیر دما در این امر بارزتر است. دلیل وقوع این مسئله تاثیر بارز دما و سرعت هوا در ایجاد جنیش مولکولی و مکش سطحی بیشتر و افزایش ضریب مذکور می‌باشد. افزایش شدت تابش باعث افزایش گرادیان حرارتی لایه سطحی محصول و لایه‌ی زیرین آن شده و سرعت جریان رطوبت داخل محصول را افزایش می‌دهد. با توجه به نتایج، بیشترین میزان ضریب پخش رطوبت موثر به میزان  $1/40 \times 10^{-9} \text{ m}^2/\text{s}$  در دمای هوای  $20^\circ\text{C}$  و توان تابش  $1000 \text{ W}$  به دست آمد. همچنین کمترین مقدار ضریب پخش رطوبت موثر به میزان  $2/96 \times 10^{-10} \text{ m}^2/\text{s}$  در دمای هوای  $40^\circ\text{C}$  و توان تابش  $500 \text{ W}$  به دست آمد. نتایج مشابهی برای محصولات کشاورزی مانند برنه (Amiri Chayjan and Kaveh, 2013) و توت سیاه (Shi et al., 2008) به دست آمد.



شکل ۳- نمودار ضریب پخش رطوبت موثر در دمایها ( $40^\circ\text{C}$ ,  $55^\circ\text{C}$  و  $70^\circ\text{C}$ ) و توان های مختلف

## نتیجه‌گیری

رفتار خشک کردن توت سفید در خشک کن آزمایشگاهی مادون قرمز- جابجایی در دماهای  $40^{\circ}\text{C}$  و  $40.55^{\circ}\text{C}$  و سرعت  $0.4 \text{ m/s}$  و توان مادون قرمز  $500 \text{ W}$  و اوت بررسی شد. دمای هوای ورودی و تون مادون قرمز عوامل مهمی در محاسبه زمان خشکشدن و میزان ضریب نفوذ موثر رطوبت در خشکشدن توت سفید بودند. همچنین برای پیش‌بینی رطوبت توت از چهار مدل ریاضی استفاده شد که نتایج نشان داد مدل Midilli *et al* بهترین مدل برای پیش‌بینی بود. همچنین مقادیری برای ضریب پخش رطوبت موثر پیدا شد که بیشترین مقدار آن  $1.40 \times 10^{-9} \text{ m}^2/\text{s}$  و کمترین مقدار  $1.296 \times 10^{-10} \text{ m}^2/\text{s}$  به دست آمد. بیشترین مقدار ضریب پخش رطوبت موثر در دمای هوای  $70^{\circ}\text{C}$  و توان تابش  $1000 \text{ W}$  به دست آمد و کمترین مقدار در دمای هوای  $40^{\circ}\text{C}$  و توان تابش  $500 \text{ W}$  به دست آمد.

## منابع

- Amiri Chayjan, R., and M. Kaveh. 2013. Physical parameters and kinetic modeling of fix and fluid bed drying of terebinth seeds. *J. Food Proces Preservation*, doi:10.1111/jfpp.12092. (in press)
- Artnaseaw, A., S. Theerakulpisut, and C. Benjapiyaporn. 2010. Drying characteristics of Shiitake mushroom and Jinda chili during vacuum heat pump drying. *Food and Bioproducts Processing* 88 (2–3): 105–114.
- Cakmak, G. and C. Yildi . 2011. The drying kinetics of seeded grape in solar dryer with PCM-based solar integrated collector. *Food and Bioproducts Processing*, 89: 103–108.
- Cihan A, K. Kahveci and O. Hacihaftizoglu. 2007. Modeling of intermittent drying of thin layer rough rice. *Journal of Food Engineering* 79: 293–298.
- Crank, J., 1975. Mathematics of diffusion (2nd ed.) London: Oxford University Press.
- Demir V, T. Gunhan and A. K. Yagcioglu. 2007. Mathematical modeling of convection drying of green table olives. *Biosystems Engineering* 98: 47-53.
- Ercisli, S., and E. Orhan. 2007. Chemic al compositio n of white (*Morus alba*), red (*Morus rubra*) and black (*Morus nigra*) mulberry fruit s. *Food Chemistry* 103(4): 1380-1384.
- Huang, L., D. Wu, H. Jin, J. Zhang, Y. He, and C. Lou. 2011. Internal quality determination of fruit with bump surface using visible and near infrared spectroscopy and chemometrics: A case study with mulberry fruit. *Biosystems Engineering* 109: 377-384.
- Khir, R., Z. Pan, A. Salim, B.R. Hartsough, and S. Mohamed. 2011. Moisture diffusivity of rough rice under infrared radiation drying. *LW T - Food Science and Technology* 44: 1126-1132.
- Midilli, A., H. Kucuk, and Z. Yapar. 2002. A new model for single-layer drying. *Drying Technology* 20: 1503–1513.

- 11- Mota, C.L., C. Luciano, A. Dias, M.J. Barroca, and R.P.F. Guiné. 2010. Convective drying of onion: Kinetics and nutritional Evaluation. food and bioproducts processing 88: 115–123.
- 12- Ponkham, K., N. Meeso, S. Soponronnarit, and S. Siriamornpun. 2012. Modeling of combined far-infrared radiation and air drying of a ring shaped-pineapple with/without shrinkage. food and bioproducts processing 90: 155–164.
- 13- Junling, J.S., P. Zhangli, H.M. Tara, W. Delilah, E. Hirschberg, and D. Olson. 2008. Drying and quality characteristics of fresh and sugar infused blueberries with infrared radiation heating. Food Science and Technology, 41: 1962-1972.



## Drying characteristics of mulberry using infrared dryer – convection dryer

Mohammad Kaveh<sup>1\*</sup>, Reza Amiri Chayjan<sup>2</sup> and Sasan Khayati<sup>1</sup>

1. MSc Student, Department of Biosystems Engineering, Bu-Ali Sina University, Hamedan
2. Associate Professor, Department of Biosystems Engineering, Bu-Ali Sina University, Hamedan

In this study, thin layer drying of mulberry drying in an infrared- dryer was investigated experimentally. Product drying temperatures of 40, 55 and 70 °C and at a air velocity of 0.4 m/s and infrared power 500 and 1000 W will do. To select a suitable drying curve, experimental data were fitted to four models of thin layer drying. Among the mathematical models investigated, the model Midilli et al. The best model describing the thin layer drying behavior of berries with the highest correlation coefficient ( $R^2$ ) and lowest value chi-square ( $\chi^2$ ) and root mean square error (RMSE) was selected. Effective moisture diffusivity of trials for thin layer drying of mulberry also showed that the air temperature 70°C and infrared power 1000 W most effective moisture diffusivity.

**Keyword:** Mulberry, Drying, Infrared dryer, hin layer model, moisture diffusivity